

رسوب دهی الکتروفورتیک (EPD) نانوذرات کاربید سیلیسیم (SiC)

علی گلشنی عجب‌شیر^۱، حسین آقاجانی^{۲*}

۱- دانشجوی کارشناسی ارشد گروه مهندسی مواد، دانشگاه تبریز، تبریز، ایران

۲- استادیار، گروه مهندسی مواد، دانشگاه تبریز، تبریز، ایران

*h_aqajani@tabrizu.ac.ir

(تاریخ دریافت: ۱۳۹۴/۰۲/۲۴، تاریخ پذیرش: ۱۳۹۴/۰۳/۰۵)

چکیده

هدف از این پژوهش بررسی پایداری نانوذرات SiC به منظور پوشش دهی بر روی کامپوزیت کربن - کربن به روش EPD می‌باشد. بدین منظور سوسپانسیون‌هایی در حللهای مختلف و در حضور پراکنده‌ساز PEI تهیه شدند. پایداری سوسپانسیون‌ها توسط تصاویر ماکروسکوپی تهیه شده از آن‌ها پس از گذشت ۲۴ ساعت و اندازه‌گیری پتانسیل زتا و توزیع اندازه ذرات مورد بررسی قرار گرفت. در ادامه پوشش مورد نظر از سوسپانسیون بهینه بر روی زیر لایه اعمال شد. نتایج شناس داد که سوسپانسیون تهیه شده در اتانول، در pH=10 و در حضور ۶ درصد وزنی PEI پایداری بهتری دارد. همچنین تصاویر میکروسکوپ الکترونی روبشی (SEM) نشان داد که پوشش اعمال شده در ولتاژ ۳۰ ولت کیفیت بهتری داشته و دارای سطح یکنواخت و بدون حفره می‌باشد.

واژه‌های کلیدی:

رسوب دهی الکتروفورتیک، نانوذرات SiC، کامپوزیت کربن - کربن، پایداری سوسپانسیون، پتانسیل زتا.

۱- مقدمه

بنابراین برای استفاده از این مواد در دماهای بالا باید میزان مقاومت به اکسیداسیون این مواد را افزایش داد. استفاده از پوشش‌های مقاوم در برابر اکسیداسیون می‌تواند راه حل مناسبی برای جلوگیری از اکسیداسیون مواد کربنی باشد. برای این منظور در سال‌های اخیر پوشش‌های سرامیکی مختلفی مانند SiO_2 , B_4C , Si_3N_4 , SiC , TiC , MoSi_2 و ... بررسی شده‌اند [۱]. در این میان کاربید سیلیسیم به دلیل سازگاری شیمیایی و فیزیکی خوب با زمینه‌ی کربنی یکی از پوشش‌های مناسب برای مواد کربنی از جمله کامپوزیت کربن - کربن می‌باشد. کاربید سیلیسیم با تولید لایه‌ی نازکی از SiO_2 به عنوان یک سد در برابر

مواد پایه کربنی مثل گرافیت و کامپوزیت‌های کربن - کربن دارای خواص فوق العاده‌ای مانند حفظ خواص مکانیکی در دماهای بالا، دیرگذازی بالا، چگالی کم، نسبت استحکام به وزن بالا، مقاومت به شوک حرارتی بالا، پایداری شیمیایی خوب، ضریب انساط حرارتی پایین و هدایت حرارتی و الکتریکی مناسب هستند. این مواد کاربرد وسیعی در صنایع مختلف دارند؛ از جمله: پره توربین‌ها، نازل موشک‌ها، کلاهک موشک‌ها، ترمز هواییما، راکتورهای دما بالا و المنت کوره‌ها. اکسیداسیون مواد کربنی در دماهای بالای 500°C و در اتمسفر اکسیدی موجب محدودیت کاربرد آن‌ها در موارد مختلف می‌شود [۹-۱].

(Stabilization) و (۳) پایدارسازی الکترواستریکی (Electrostatic Stabilization). در روش اول بار سطحی ذرات و نیروی دافعه‌ی حاصل از آن عامل اصلی پایداری است. در روش دوم عامل اصلی پایداری جذب پلیمر بدون بار بر روی سطح ذرات و نیروی دافعه حاصل از زنجیره‌های پلیمری است. روش سوم ترکیبی از روش‌های اول و دوم می‌باشد. در این روش از پلیمر باردار (پلی الکتروولیت) به عنوان پراکنده‌ساز استفاده می‌شود [۳۰].

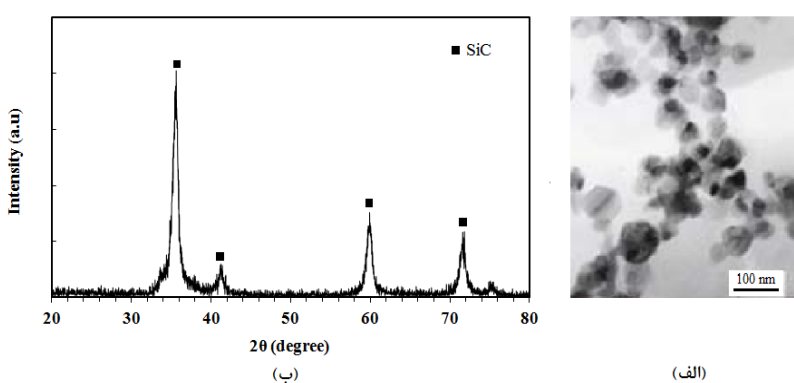
در این پژوهش تلاش شده است تا پایداری نانوذرات SiC در حلال‌های اتانول، متانول و ایزوپروپانول در حضور پراکنده‌ساز PEI و در pH‌های مختلف بررسی شود. همچنین پوشش ایجاد شده به روش EPD از سوسپانسیون بهینه، در ولتاژهای مختلف مورد بررسی قرار گرفته است.

۲- فعالیت‌های تجربی

۱-۲ مواد مصرفی

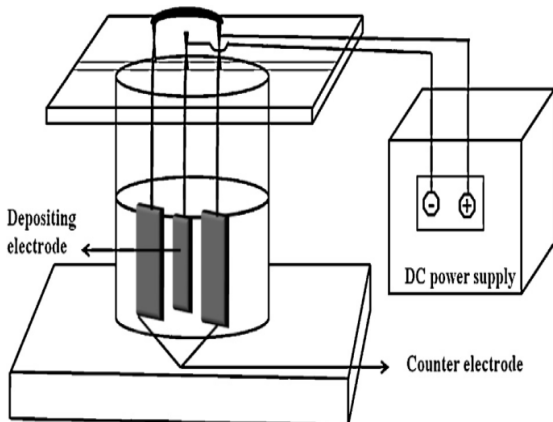
در این پژوهش، پودر SiC با اندازه دانه‌ی کمتر از ۵۰ نانومتر و خلوص بالای ۹۹ درصد و حلال‌های اتانول، متانول و ایزوپروپانول با خلوص ۹۹/۶ درصد مورد استفاده قرار گرفتند. شکل (۱) تصویر TEM و الگوی XRD نانوذرات SiC را نشان می‌دهد. همچنین از (۱) PEI به عنوان پراکنده‌ساز استفاده شد.

نفوذ اکسیژن تا دمای ۱۷۰۰ °C عمل می‌کند [۲]. روش‌های مختلفی برای اعمال پوشش SiC بر روی کامپوزیت کربن - کربن وجود دارد که از آن جمله می‌توان به روش دوغابی - زینتری (Slurry-Sintering) [۱۰]، واکنش شیمیایی فاز بخار (Chemical Vapor Reaction) [۱۱]، رسوب‌دهی شیمیایی فاز بخار (Chemical Vapor Deposition) [۱۲-۱۳] و رسوب-سماناتاسیون جعبه‌ای (Pack Cementation) [۱۶-۱۳] و رسوب-دهی الکتروفورتیک (EPD) [۱۹-۱۶] اشاره کرد. در بین این روش‌ها، روش EPD به دلیل ساده بودن تجهیزات، زمان کم فرآیند پوشش‌دهی و امکان پوشش‌دهی قطعات با شکل‌های هندسی پیچیده مورد توجه قرار گرفته است [۲۰-۲۲]. رسوب-دهی الکتروفورتیک یک فرآیند کلوئیدی است که در آن ذرات باردار شده در داخل سوسپانسیون در اثر اعمال میدان الکتریکی بر روی الکتروود رسانا پوشش داده می‌شوند [۲۳]. در روش EPD استفاده از آب به عنوان حلal به دلیل الکترولیز و تولید حباب‌های ریز در نزدیکی الکتروود محدودیت دارد. بنابراین حلال‌های آلی مثل الکل‌ها برای آماده‌سازی سوسپانسیون استفاده می‌شوند [۲۴-۲۸]. یکی از مهم‌ترین مراحل در رسوب‌دهی الکتروفورتیک ایجاد سوسپانسیون پایدار است که در آن ذرات در داخل حلal به خوبی پراکنده شده‌اند [۲۹]. به طور کلی سه روش برای پایدارسازی سوسپانسیون‌ها وجود دارد: ۱) پایدارسازی الکترواستریکی (Electrostatic Stabilization)، ۲) پایدارسازی استریکی (Steric Stabilization)



شکل (۱): (الف): تصویر XRD و (ب): الگوی TEM نانوذرات SiC

پوشش دهی از سوسپانسیون با غلظت ۱ g/l، ۵ در چهار ولتاز متفاوت (۲۰، ۳۰، ۴۰ و ۵۰ ولت) و زمان ۲ دقیقه انجام گرفت. نمونه ها به مدت ۲۴ ساعت در محیط آزمایشگاه خشک شدند. سپس کیفیت پوشش اعمال شده توسط میکروسکوپ الکترونی روبشی (FE-SEM, Mira3 Tescan) مورد بررسی قرار گرفت.



شکل (۲): طرح واره ای از سیستم پوشش دهی به روشن EPD [۲۲]

۳- نتایج و بحث

۳-۱- بررسی پایداری سوسپانسیون ها

شکل (۳-الف) تصویر سوسپانسیون نانوذرات SiC را در اتانول و پس از گذشت ۲۴ ساعت نشان می دهد. با توجه به این مشخص است که نانوذرات SiC در اتانول و در pH های ۶، ۴، ۲، ۰ و ۱۲ پایداری خوبی نداشته و پس از گذشت ۲۴ ساعت سوسپانسیون ها کاملاً شفاف شده اند ولی در pH های ۸ و ۱۰ از پایداری خوبی برخوردار هستند. شکل (۳-ب) تصویر سوسپانسیون نانوذرات SiC را در اتانول و در حضور ۳ درصد وزنی PEI، پس از ۲۴ ساعت نشان می دهد. همان طور که از شکل مشخص است، پایداری سوسپانسیون ها در pH های ۲، ۰، ۶ و ۸ مطلوب نبوده ولی در pH های ۱۰ و ۱۲ از پایداری خوبی برخوردار هستند. بنابراین افزودن ۳ درصد وزنی PEI به سوسپانسیون نانوذرات SiC در اتانول باعث بهبود پایداری آن در pH های ۱۰ و ۱۲ شده است.

به منظور بررسی پایداری، سوسپانسیون هایی با غلظت ۱ g/l، ۵ در حلال های اتانول، متانول و ایزوپروپانول و در pH های ۲، ۴، ۶، ۸ و ۱۰ تهیه شد. برای تغییر pH از HCl و NaOH استفاده شد و pH نمونه ها توسط pH متر قلمی (Model:8685 AZ) تنظیم گردید. به منظور بررسی تأثیر پراکنده ساز PEI بر پایداری، مقدار ۳ درصد وزنی PEI (بر حسب درصد وزنی پودر خشک) به این سوسپانسیون ها اضافه شد. همچنین تأثیر مقادیر مختلف PEI بر پایداری سوسپانسیون نانوذرات SiC در اتانول مورد بررسی قرار گرفت. روند تهیه سوسپانسیون ها به شرح زیر می باشد:

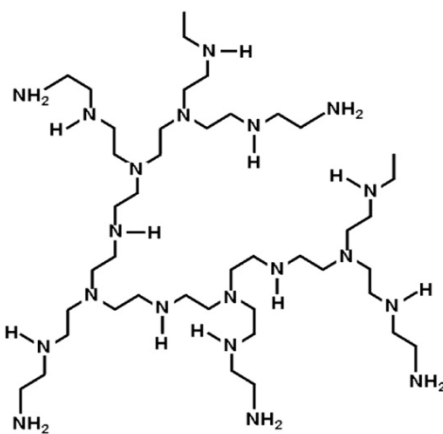
۱- پودر SiC به آرامی به حلال اضافه شد و به مدت ۱ ساعت روی همزن مغناطیسی قرار گرفت. در سوسپانسیون هایی که حاوی پراکنده ساز بودند ابتدا PEI به مدت نیم ساعت در حلال و بر روی همزن مغناطیسی حل شد و سپس پودر SiC به آن اضافه و به مدت ۱ ساعت روی همزن مغناطیسی مخلوط شدند.

۲- سوسپانسیون مورد نظر به مدت نیم ساعت در حمام التراسونیک قرار گرفت.

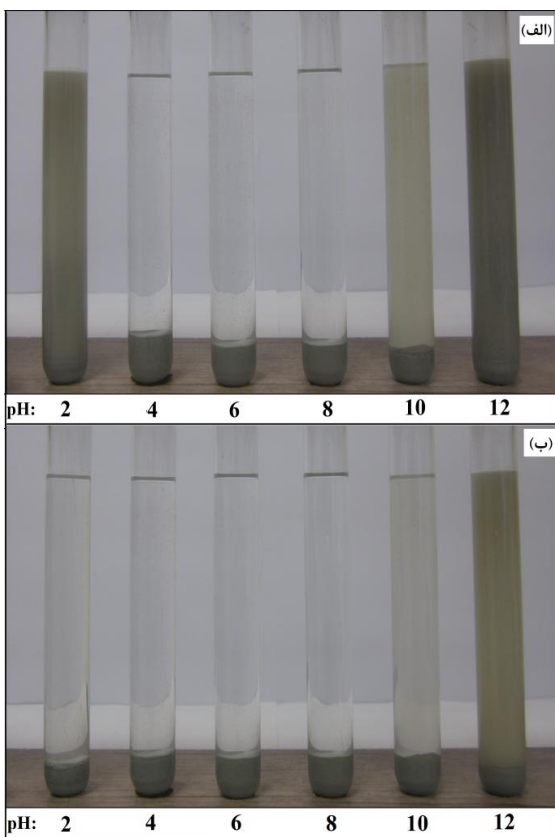
۳- pH نمونه ها تنظیم و پس از آن سوسپانسیون ها به مدت ۱۲ ساعت در همزن مغناطیسی مخلوط شدند. در ادامه سوسپانسیون ها داخل لوله ای آزمایش ریخته شدند و پس از گذشت ۲۴ ساعت از آن ها عکس گرفته شد. توزیع اندازه ذرات و مقدار پتانسیل زتا برای سوسپانسیون ها توسط دستگاه زتمتر (Microtrac, Nanotrac Wave, USA) بدست آمد.

۲- پوشش دهی الکتروفورتیک

برای پوشش دهی نانوذرات کاربید سیلیسیم، از کامپوزیت کربن - کربن با ابعاد 10×20 میلی متر مربع و ضخامت ۳ میلی متر به عنوان زیر لایه و از ورق فولاد زنگ نزن با ابعاد 20×30 میلی متر مربع و ضخامت ۱ میلی متر برای الکترود با بار مخالف استفاده شد. کامپوزیت کربن - کربن به صورت موازی و به فاصله ۱ سانتی متر در بین دو ورق فولاد زنگ نزن قرار گرفت. شکل (۲) طرح واره ای از سیستم پوشش دهی به روشن EPD را نشان می دهد.

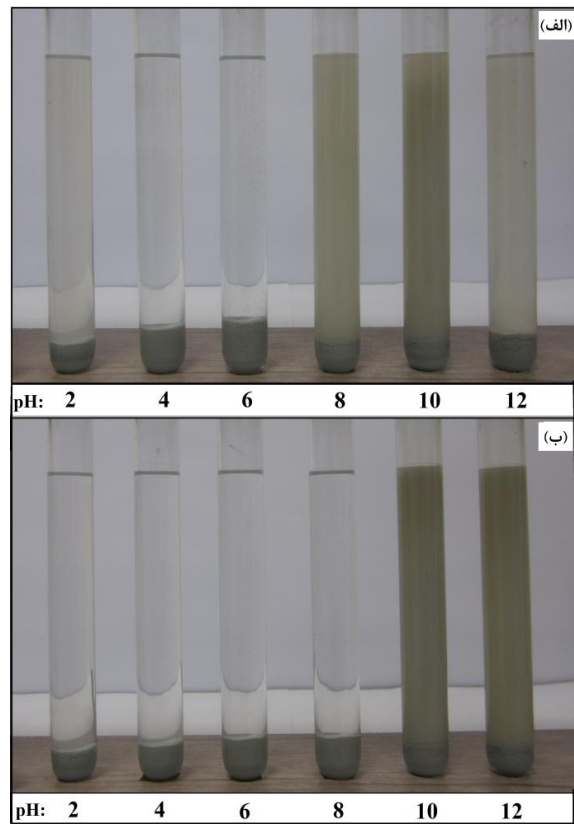


شکل (۴): طرح واره‌ای از ساختار PEI [۳۳]



شکل (۵): تصاویر تهیه شده از نمونه‌ها در pH‌های مختلف و در حلال متانول پس از گذشت ۲۴ ساعت: (الف): بدون PEI و (ب): در حضور ٪۳ PEI

بهبود پایداری نانوذرات SiC در حلال‌های متانول و ایزوپروپانول نداشته و باعث تسريع در تهشيني اين سوسپانسيون‌ها می‌شود.

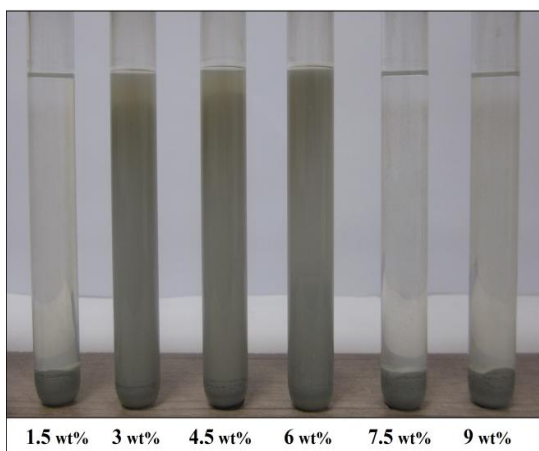


شکل (۳): تصاویر تهیه شده از نمونه‌ها در pH‌های مختلف و در حلال اتانول پس از گذشت ۲۴ ساعت: (الف): بدون PEI و (ب): در حضور ٪۳ PEI

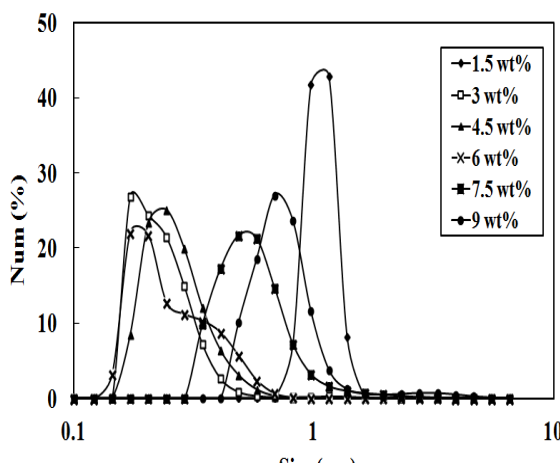
PEI برای آماده‌سازی سوسپانسیون ذرات SiC با اندازه‌ی زیر میکرومتر و پوشش‌دهی الکتروفورتیک این ذرات به کار برد و می‌شود [۳۱]. شکل (۴) ساختار شاخه‌ای PEI را نشان می‌دهد. PEI یک پراکنده‌ساز پلیمری کاتیونی است و برای پراکنده کردن ذرات سرامیکی در حلال‌های آلی به کار می‌رود. این ماده باعث ایجاد پایداری الکترواستریکی در سوسپانسیون و ایجاد دافعه بین ذرات سوسپانسیون می‌شود [۳۲].

شکل (۵) و (۶) پایداری سوسپانسیون نانوذرات SiC را پس از گذشت ۲۴ ساعت در متانول و ایزوپروپانول نشان می‌دهد. نانوذرات SiC در متانول و در pH‌های ۲ و ۱۲ پایداری بهتری دارند. همچنین سوسپانسیون نانوذرات SiC در ایزوپروپانول و در pH=6 از پایداری خوبی برخوردار است. با توجه به این شکل‌ها مشخص است که افزودن مقدار ۳ درصد وزنی PEI تأثیری بر

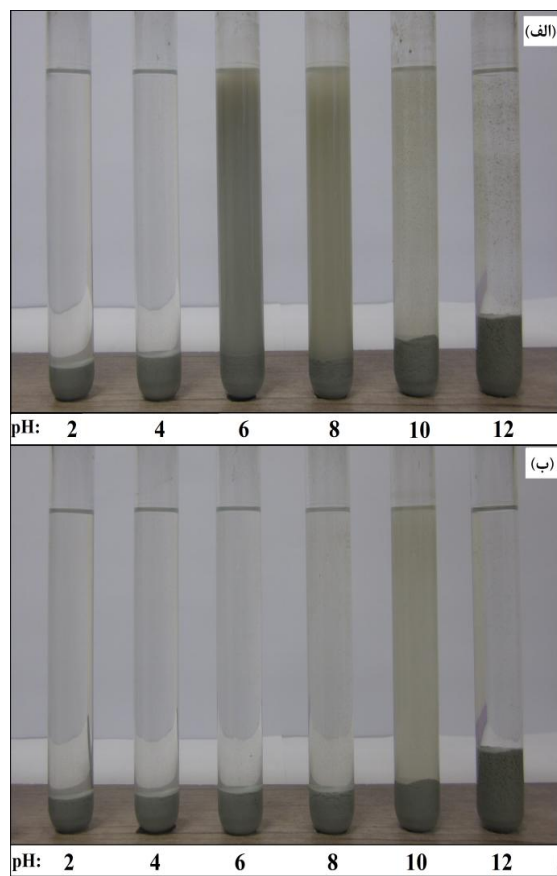
شکل (۸) نمودار توزیع اندازه ذرات پودر SiC را در حلال اتانول و در حضور مقدار مختلف PEI در pH=10 نشان می‌دهد. با افزایش مقدار پراکنده‌ساز از ۱/۵٪ به ۳٪، اندازه ذرات سوسپانسیون به طور قابل توجهی کاهش یافته است. با افزایش مقدار PEI از ۳٪ تا ۶٪ اندازه ذرات تقریباً ثابت بوده و تغییر چندانی نداشته است ولی افزایش مقدار پراکنده‌ساز به مقدار بالای ۶٪ باعث افزایش در اندازه ذرات سوسپانسیون شده است.



شکل (۷): تصویر تهیه شده از نمونه‌ها در حضور مقدار مختلف PEI و در حلال اتانول در pH=10 پس از گذشت ۱۲ روز



شکل (۸): نمودار توزیع اندازه ذرات پودر SiC در حلال اتانول و در حضور مقدار مختلف PEI در pH=10



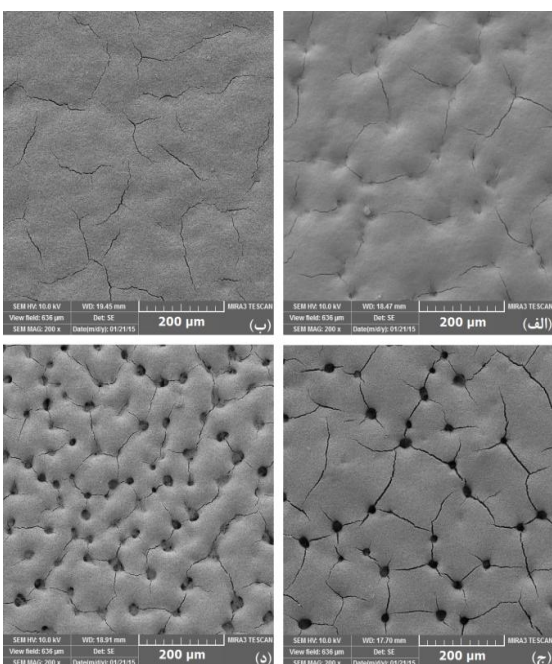
شکل (۹): تصاویر تهیه شده از نمونه‌ها در pHهای مختلف و در حلال ایزوپروپانول پس از گذشت ۲۴ ساعت: (الف): بدون PEI و (ب): در حضور PEI٪۳

در بین سوسپانسیون‌های موجود در شکل‌های (۳)، (۵) و (۶) سوسپانسیون نانوذرات SiC در اتانول، در pH=10 و در حضور ۳٪ پراکنده‌ساز پایداری بهتری دارد. به منظور بررسی تأثیر مقدار PEI بر روی پایداری نانوذرات SiC در اتانول، مقدار مختلف PEI (۱/۵، ۳، ۴/۵، ۶، ۷/۵ و ۹ درصد وزنی) در pH=10 مورد استفاده قرار گرفت. شکل (۷) تصویر این سوسپانسیون‌ها را پس از گذشت ۱۲ روز نشان می‌دهد. با توجه به این شکل مشخص است که با افزایش مقدار PEI از ۱/۵٪ تا ۳٪، میزان پایداری سوسپانسیون‌ها افزایش می‌یابد. همچنین با افزایش بیشتر مقدار پراکنده‌ساز میزان پایداری سوسپانسیون‌ها افت کرده و نمونه‌ها پس از ۱۲ روز کاملاً شفاف شده‌اند.

شکل (۹) نمودار مقدار پتانسیل زتا را بر حسب مقدار PEI برای

۲-۳-پوشش دهی الکتروفورتیک

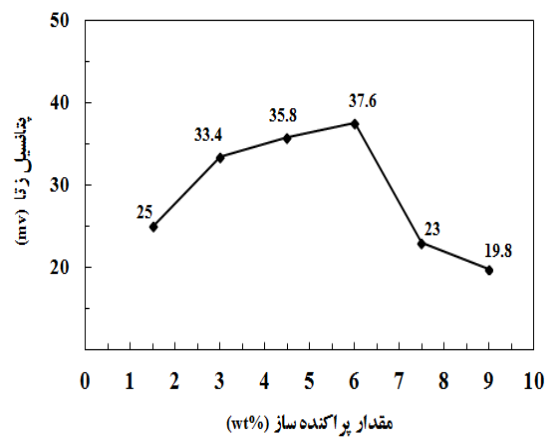
به منظور پوشش دهی نانوذرات SiC بر روی کامپوزیت کربن-کربن سوسپانسیونی با اندازه ذرات کمتر و پایداری بیشتر انتخاب شد. با توجه به نتایج حاصل از شکل‌های (۷)، (۸) و (۹) سوسپانسیون حاصل از نانوذرات SiC در حضور ۶ درصد وزنی PEI، در حلال اتانول و pH=10 به عنوان سوسپانسیون بهینه انتخاب شد. مقدار پتانسیل زتا اندازه‌گیری شده برای این نمونه +۳۷/۶ میلیولت می‌باشد. پوشش مورد نظر توسط این سوسپانسیون در ولتاژهای ۲۰، ۳۰، ۴۰ و ۵۰ ولت و زمان ۲ دقیقه بر روی الکترود اعمال شد. شکل (۱۰) تصاویر SEM این نمونه‌ها را نشان می‌دهد. با توجه به این شکل مشخص است که پوشش اعمال شده در ولتاژ ۳۰ ولت نسبت به ولتاژهای دیگر از کیفیت بهتری برخوردار بوده و قادر حفره است. همان‌طوری که در شکل نیز مشخص است، این پوشش نیز دارای ترک‌هایی است که البته نسبت به نمونه‌های دیگر کوچک‌تر بوده و به صورت جدا از هم تشکیل شده‌اند.



شکل (۱۰): تصاویر SEM تهیه شده از نمونه‌های پوشش داده در ولتاژهای: (الف): ۲۰، (ب): ۳۰، (ج): ۴۰ و (د): ۵۰ ولت

این نمونه‌ها نشان می‌دهد. طبق این نمودار با افزایش مقدار PEI از ۱/۵٪ به ۶٪ مقدار پتانسیل زتا افزایش می‌یابد که نشان دهنده افزایش در بار سطحی ذرات است. همچنین در مقادیر بالای ۶٪ PEI مقدار پتانسیل زتا و در نتیجه میزان بار سطحی ذرات کاهش می‌یابد. بنابراین با توجه به شکل‌های (۸) و (۹) می‌توان نتیجه گرفت که کاهش یا افزایش بیش از اندازه‌ی مقدار PEI باعث آگلومره شدن و کاهش بار سطحی ذرات و در نتیجه تهشیین ذرات SiC در سوسپانسیون می‌شود که این مسئله در شکل (۷) کاملاً مشخص است.

زمانی که مقادیر کمتری PEI در داخل سوسپانسیون وجود دارد (کمتر از ۶٪)، سطح ذرات SiC پراکنده شده در سوسپانسیون به‌طور کامل توسط PEI پوشانده نمی‌شود. در این حالت بخش‌هایی از سطح ذرات که توسط PEI پوشانده نشده‌اند تمایل به جذب همیگر و تشکیل آگلومره دارند. این مسئله باعث افزایش در اندازه ذرات، عدم پایداری و تهشیین سوسپانسیون خواهد شد. همچنین در مقادیر بیشتر PEI (بیشتر از ۶٪) زنجیره‌های آزاد پلیمر که در داخل سوسپانسیون حضور دارند، در همیگر قفل شده و ایجاد پل‌های پلیمری می‌کنند. این مسئله نیز منجر به تهشیین و عدم پایداری سوسپانسیون‌ها می‌شود. بنابراین پلیمر مورد استفاده باید به مقدار مورد نیاز در داخل سوسپانسیون حضور داشته باشد چون مقادیر بیشتر و کمتر پلیمر باعث عدم پایداری سوسپانسیون‌ها می‌شود [۳۴].



شکل (۹): نمودار پتانسیل زتا بر حسب مقدار پراکنده‌ساز برای نانوذرات SiC در حلال اتانول و pH=10

- [2] H. Jafari et al., "Nano-SiC/SiC Anti-Oxidant Coating on the Surface of Graphite", *Applied Surface Science*, Vol. 264, pp. 128–132, 2013.
- [3] J. F. Huang et al., "Microstructure and Anti-Oxidation Property of Mullite Oxidation Protective Coating Prepared by Hydrothermal Electrophoretic Deposition for SiC-C/C Composites", *Surface & Coatings Technology*, Vol. 205, pp. 5077–5082, 2011.
- [4] J. Li et al., "Oxidation Behavior and Kinetics of SiC/Alumina–Borosilicate Coating for Carbon–Carbon Composites", *Applied Surface Science*, Vol. 255, pp. 1967–1974, 2008.
- [5] F. Q. Gang et al., "Oxidation Protective Glass Coating for SiC Coated Carbon/Carbon Composites for Application at 1773 K", *Materials Letters*, Vol. 60, pp. 431–434, 2006.
- [6] Y. Zeng et al., "SiC/SiC–YAG–YSZ Oxidation Protective Coatings for Carbon/Carbon Composites", *Corrosion Science*, Vol. 70, pp. 68–73, 2013.
- [7] F. Tao et al., "Microstructure and Anti-Oxidation Properties of Multi-Composition Ceramic Coatings for Carbon/Carbon Composites", *Ceramics International*, Vol. 37, pp. 79–84, 2011.
- [8] K. T. Wang et al., "Microstructure and Oxidation Resistance of C-AlPO₄–Mullite Coating Prepared by Hydrothermal Electrophoretic Deposition for SiC-C/C Composites", *Ceramics International*, Vol. 39, pp. 1037–1044, 2013.
- [9] م. باری و همکاران "تأثیر زمان لایه نشانی بر خواص ساختاری و فیزیکی پوشش‌های کربنی لایه‌نشانی شده با روش کندوپاش مگترونی"، *فصلنامه علمی پژوهشی فرآیندهای نوین در مهندسی مواد*، سال ۵ شماره ۲، ص. ۱۰–۱۳۹۰.
- [10] J. Zhao et al., "Microstructure and Property of SiC Coating for Carbon Materials", *Fusion Engineering and Design*, Vol. 82, pp. 363–368, 2007.
- [11] X. Yang et al., "A Double Layer Nanostructure SiC Coating for Anti-Oxidation Protection of Carbon/Carbon Composites Prepared by Chemical Vapor Reaction and Chemical Vapor Deposition", *Ceramics International*, Vol. 39, pp. 5053–5062, 2013.

۶- نتیجه‌گیری

اعمال پوشش مقاوم به اکسیداسیون SiC به روشن EPD راه حل مناسبی برای حفاظت کامپوزیت کربن - کربن در دمای بالاست. در روش EPD ابتدا باید ذرات به خوبی در داخل حل ملائمه مناسب پراکنده شوند. سپس این ذرات در حضور میدان الکتریکی بر روی زیر لایه پوشش داده می‌شوند. در این پژوهش ابتدا پایداری نانوذرات SiC در حل‌های اتانول، متانول و ایزوپروپانول، بدون پراکنده‌ساز و همچنین در حضور پراکنده-ساز PEI مورد بررسی قرار گرفت و نتایج زیر حاصل شد:

- ۱- پایداری نانوذرات SiC در حل‌های اتانول، متانول و ایزوپروپانول، بدون پراکنده‌ساز و همچنین در حضور پراکنده-ساز PEI به شدت به مقدار pH سوسپانسیون وابسته است.
- ۲- افزودن ۳٪ PEI به سوسپانسیون نانوذرات SiC در اتانول باعث بهبود پایداری آن در pHهای ۱۰ و ۱۲ شده است.
- ۳- افزودن ۳٪ PEI به سوسپانسیون نانوذرات SiC در متانول و ایزوپروپانول تأثیری بر بهبود پایداری ندارد.
- ۴- افزایش مقدار پراکنده‌ساز در اتانول تا ۶٪ باعث کاهش اندازه ذرات سوسپانسیون و افزایش پتانسیل زتای ذرات و در نتیجه افزایش پایداری سوسپانسیون شده، ولی در مقادیر بیشتر از ۶٪ پایداری سوسپانسیون به دلیل افزایش اندازه ذرات سوسپانسیون و کاهش پتانسیل زتای ذرات کاهش می‌یابد.
- همچنین پوشش دهی نانوذرات SiC بر روی کامپوزیت کربن - کربن در ولتاژهای ۲۰، ۳۰، ۴۰ و ۵۰ ولت و زمان ۲ دقیقه از سوسپانسیونی با غلظت ۱ g/L در حضور ۶٪ PEI در حل اتانول و در pH=10 نشان داد که پوشش ایجاد شده در ولتاژ ۳۰ ولت و زمان ۲ دقیقه کیفیت بهتری دارد.

۷- مراجع

- [1] J. I. Kim et al., "Design of a C/SiC Functionally Graded Coating for the Oxidation Protection of C/C Composites", *Carbon*, Vol. 43, pp. 1749–1757, 2005.

- [23] M. Verde et al., "Electrophoretic Deposition of Transparent ZnO Thin Films from Highly Stabilized Colloidal Suspensions", *Colloid and Interface Science*, Vol. 373, pp. 27–33, 2012.
- [24] D. Das et al., "Suspension Chemistry and Electrophoretic Deposition of Zirconia Electrolyte on Conducting and Non-Conducting Substrates", *Materials Research Bulletin*, Vol. 48, pp. 3254–3261, 2013.
- [25] S. Mahmoodi et al., "Electrophoretic Deposition of Hydroxyapatite–Chitosan Nanocomposite Coatings in Different Alcohols", *Surface & Coatings Technology*, Vol. 216, pp. 106–114, 2013.
- [26] M. Farrokhi-Rad et al., "Effect of Triethanolamine on the Electrophoretic Deposition of Hydroxyapatite Nanoparticles in Isopropanol", *Ceramics International*, Vol. 39, pp. 7007–7013, 2013.
- [27] M. Popa et al., "Influence of Ammonium Salt of Poly-Methacrylic Acid and Butylamine Addition on the Viscosity and Electrophoretic Deposition Behavior of Ethanol-Based Powder Suspensions", *Colloids and Surfaces A: Physicochem. Eng. Aspects*, Vol. 267, pp. 74–78, 2005.
- [28] M. F. De Riccardis et al., "A Novel Method for Preparing and Characterizing Alcoholic EPD Suspensions", *Colloid and Interface Science*, Vol. 307, pp. 109–115, 2007.
- [29] K. Wu et al., "Electrophoretic Deposition of TiO₂ and Composite TiO₂–MnO₂ Films Using Benzoic Acid and Phenolic Molecules as Charging Additives", *Colloid and Interface Science*, Vol. 352, pp. 371–378, 2010.
- [30] M. N. Rahaman, *Ceramic Processing and Sintering*, (New York, NY: Marcell Dekker, Inc), p.191, 2003.
- [31] Coupé et al., "Dispersion Behaviour of Laser-Synthesized Silicon Carbide Nanopowders in Ethanol for Electrophoretic Infiltration", *European Ceramic Society*, Vol. 32, pp. 3837–3850, 2012.
- [32] G. Jian et al., "Cobalt Ferrite Dispersion in Organic Solvents for Electrophoretic Deposition: Influence of Suspension Parameters on the Film Microstructure", *Materials Chemistry and Physics*, Vol. 143, pp. 653–660, 2014.
- [12] Y. Long et al., "The Effect of Substrate Position on the Microstructure and Mechanical Properties of SiC Coatings on Carbon/Carbon Composites", *Surface & Coatings Technology*, Vol. 206, pp. 568–574, 2011.
- [13] Q. G. Fu et al., "Silicon Carbide Coating to Protect Carbon/Carbon Composites Against Oxidation", *Scripta Materialia*, Vol. 52, pp. 923–927, 2005.
- [14] J. Liu et al., "A ZrSiO₄/SiC Oxidation Protective Coating for Carbon/Carbon Composites", *Surface & Coatings Technology*, Vol. 206, pp. 3270–3274, 2012.
- [15] X. Zou et al., "ZrB₂–SiC Coating to Protec", *Surface & Coatings Technology*, Vol. 226, pp. 17–21, 2013.
- [16] H. J. Feng et al., "Influence of the Preparation Temperature on the Phase, Microstructure and Anti-Oxidation Property of a SiC Coating for C/C Composites", *Carbon*, Vol. 42, pp. 1517–1521, 2004.
- [17] L. Nobre et al., "Engineering Surface and Electrophoretic Deposition of SiC Powder", *Materials Letters*, Vol. 50, pp. 115–119, 2001.
- [18] S. Novak et al., "Electrophoretic Deposition in the Production of SiC/SiC Composites for Fusion Reactor Applications", *European Ceramic Society*, Vol. 28, pp. 2801–2807, 2008.
- [19] Ch. You et al., "SiC/TiC laminated Structure Shaped by Electrophoretic Deposition", *Ceramics International*, Vol. 30, pp. 813–815, 2004.
- [20] L. Besra et al., "A Review on Fundamentals and Applications of Electrophoretic Deposition (EPD)", *Progress in Materials Science*, Vol. 52, pp. 1–61, 2007.
- [21] R. Boccaccini et al., "Application of Electrophoretic and Electrolytic Deposition Techniques in Ceramics Processing", *Current Opinion in Solid State and Materials Science*, Vol. 6, pp. 251–260, 2002.

۲۲. ح. ملکی قلعه و همکاران "بررسی اتلاف حرارتی پوشش سد حرارتی نanosاختار ساخته شده به روش EPD", *فصلنامه علمی پژوهشی فرآیندهای نوین در مهندسی مواد*, سال ۸ شماره ۲، ص. ۳۳–۴۰، ۱۳۹۳ تابستان.

- [34] X. Zhang et al., “Dispersion and co-dispersion of ZrB₂ and SiC nanopowders in ethanol”, Ceramics International, Vol. 38, pp. 2733–2741, 2012.
- [33] R. He et al., “Preparation of High Solid Loading, Low Viscosity ZrB₂–SiC Aqueous Suspensions Using PEI as Dispersant”, Ceramics International, Vol. 39, pp. 2267–2274, 2013.